УДК 547.211: 542.943

ОКИСЛИТЕЛЬНАЯ КОНВЕРСИЯ МЕТАНА НА СТРУКТУРИРОВАННЫХ КАТАЛИЗАТОРАХ $Ni-Al_2O_3/KOPДИЕРИТ$

© 2011 г. С.А. Соловьев

Институт физической химии им. Л.В. Писаржевского НАН Украины, Киев

Введение

Процессы окислительной конверсии метана в СО и H_2 лежат в основе технологий синтетического аммиака, спиртов и других продуктов [1—3]. В настоящее время в промышленности широко используются лишь паровая конверсия метана:

$$CH_4 + H_2O \leftrightarrow CO + 3H_2$$
,
$$\Delta H_{298K} = 206 \text{ кДж/моль}. \tag{1}$$

В последние годы все большее внимание исследователей обращается к реакции углекислотной конверсии метана (УКМ):

$$CH_4 + CO_2 \leftrightarrow 2CO + 2H_2$$
,
$$\Delta H_{298K} = 247 \text{ кДж/моль}, \qquad (2)$$

которую также можно рассматривать как способ переработки парниковых и дымовых газов, получения синтеза-газа с необходимым отношением ${\rm CO}$: ${\rm H_2}$ для производства диметилового эфира, синтезов Фишера—Тропша [3, 4]. Кроме того, проблема активации двух достаточно инертных молекул ${\rm CH_4}$ и ${\rm CO_2}$ представляет значительный научный интерес. Промышленному использованию данного процесса препятствуют неустойчивая работа известных катализаторов вследствие зауглероживания, а также высокая эндотермичность УКМ [3].

Ряд удельной активности некоторых металлов в реакции УКМ [3, 5]:

$$a_{\rm Rh} > a_{\rm Pt} > a_{\rm Ni} > a_{\rm Ir} > a_{\rm Ru} > a_{\rm Co}.$$
 (3)

В промышленности для осуществления окисли-

Соловьев С.А. – докт. хим. наук, вед. науч. сотрудник Института физической химии им. Л.В. Писаржевского НАН Украины (03028, Украина, Киев, пр. Науки 31). Тел.: (044) 525-66-70.

E-mail: soloviev@inphyschem-nas.kiev.ua.

тельной (в частности, паровой, паро-кислородной) конверсии метана наиболее распространены Ni-co-держащие катализаторы Γ ИА Π -18, R-67R-7H фирмы «Haldor Topsoe» и их аналоги, приготовленные на носителях разной химической природы, чаще всего Al_2O_3 разных модификаций, с зернами размером 15×15 мм.

Процессы окислительной (паровой, углекислотной) конверсии метана осуществляются при высоких температурах, что необходимо для достижения высокой конверсии, и, как правило, в диффузионном режиме. Глубина реакции в грануле катализатора в условиях конверсии метана не превышает 0,25 мм. Сердцевина гранулы в каталитической реакции участия почти не принимает, являясь балластом. Поэтому представляется перспективным использовать в качестве каркаса катализаторов для этих процессов керамические блочные матрицы сотовой структуры со стенками небольшой толщины [6, 7]. Следует ожидать, что применение катализаторов такого типа позволит не только повысить производительность процесса, но и уменьшить зауглероживание внутренней поверхности катализатора в результате устранения диффузионных затруднений, связанных с подводом окислителя в зону реакции.

На ряде международных форумов по катализу (Europa Cat-VI, 14 ICC 2008) отмечалось, что несмотря на очевидные преимущества структурированных катализаторов в процессах высокотемпературного риформинга углеводородов, работ, посвященных этой тематике, известно немного.

В статье приведены результаты исследований, направленных на изучение возможности применения блочных носителей сотовой структуры для приготовления катализаторов углекислотной конверсии метана.

Методы приготовления и исследования катализаторов

В качестве каркаса катализаторов использовали керамические блочные носители сотовой структуры из синтетического кордиерита ($2Al_2O_3 \cdot 2MgO \cdot 5SiO_2$) с размером ячеек 1,0×1,0 мм и толщиной стенки 0,2 мм. Термическая устойчивость носителя — 1250 °C. Удельная поверхность керамических блочных носителей 0,45 м²/г. Роль вторичного носителя в составе структурированных катализаторов выполнял Al_2O_3 ($S_{va} = 88 \text{ M}^2/\Gamma$).

Катализаторы готовили пропиткой блочных матриц растворами нитратов никеля и алюминия с последующей сушкой и 3-ч прокаливанием в муфельной печи при 750 °С на воздухе. Используемое соотношение солей в растворе обеспечивало необходимый состав компонентов в катализаторе. Модифицировали Ni/Al_2O_3 -катализаторы оксидами: а) K_2O , Na_2O , Li_2O , импрегнируя их из водных растворов соответствующих карбонатов; б) La_2O_3 , CeO_2 при разложении нитратов с последующими сушкой и прокалкой.

Каталитическую активность характеризовали конверсией метана $X_{\rm CH_4}=100(C_{\rm CH_{4_{\rm HCX}}}-C_{\rm CH_{4_{\rm KOH}}})/C_{\rm CH_{4_{\rm HCX}}}.$ При каждой из исследованных температур достигалась стационарная активность катализатора, фиксируемая постоянством конверсии метана. Для определения активности из образца блочного катализатора вырезали цилиндрический фрагмент диаметром 7 мм высотой 12 мм массой 0,25 г, который помещали в реактор проточного типа так, чтобы избежать проскока газовой реакционной смеси мимо катализатора. При сравнительном тестировании катализатора ГИАП-18 использовали навеску 1,0 г фракции с зернами размером 1—2 мм. Перед началом исследований катализатор в реакторе восстанавливали 2 ч газовой смесью, содержащей 2 % Н₂ в аргоне при 700 °C, после чего охлаждали в потоке восстановительной смеси до температуры опыта. Объемная скорость реакционной смеси: 6000 ч^{-1} для блочных катализаторов и 3000 ч⁻¹ для гранулированных образцов ГИАП-18. Использовались газовые смеси, об.%: 2—6 CH₄, 2—9 O₂, ост. Ar при изучении окисления метана; 2—6 CH₄, 6—12 CO₂, 0—4 O₂, ост. Ar при углекислотной и оксиуглекислотной конверсии метана. Компоненты реакционной смеси анализировали хроматографически, используя детектор по теплопроводности «Цвет-800».

Процессы крекинга метана с образованием на

поверхности катализатора элементарного углерода $(CH_4 \rightarrow 2H_2 + C)$ и его окисления углекислым газом $(C + CO_2 \leftrightarrow 2CO)$ исследовали посредством температурно-программированной поверхностной реакции $(T\Pi\Pi P)$ на установке с весами Мак-Бена при повышении температуры со скоростью 6 °C/мин.

Прочность связи Ni—O в катализаторах оценивали методом температурно-программированного восстановления водородом (ТПВВ) в установке проточного типа с хроматографическим контролем количества водорода, расходуемого на восстановление катализатора при $20-850\,^{\circ}$ С, скорости повышения температуры $10\,^{\circ}$ С/мин. Продукты реакции (пары воды) собирали в низкотемпературной ловушке с молекулярными 0,5-нм ситами при $-50\,^{\circ}$ С. Для восстановления катализаторов использовали смесь $10\,^{\circ}$ $H_2 + Ar$, подаваемую со скоростью $50\,$ см 3 /мин.

Для определения фазового состава изучаемых образцов и размеров области когерентного рассеяния (D) использованы дифракционные картины, полученные на медном излучении $Cu_{K\alpha}$ (λ = 154,18 пм), монохроматизированном графитовым монохроматором, установленном на дифракционном пучке. Измерения проведены на аппарате HZG-4C сканированием дифракционной картины при 10—70 °C, 2 θ = 0,1 град. и времени накопления в точке 10 с.

Каталитические свойства структурированных катализаторов $Ni-Al_2O_3$ в реакции УКМ

В табл. 1 представлены данные, позволяющие сопоставить активность и производительность гранулированного и блочного катализаторов сотовой структуры при УКМ. Видно, что по активности гранулированный и блочный катализаторы с приблизительно одинаковым содержимым активного компонента (≈ 8 % NiO) практически не отличаются. Однако производительность блочного катализатора, отнесенная к единице массы контакта, в три раза выше, чем гранулированного ГИАП-18. Еще более значительно отличаются производительности гранулированного и блочного катализаторов, отнесенные к единице массы оксида никеля. Расчеты показывают, что катализатор промышленного зернения (гранулы в виде бочонков 15×15 мм) по производительности уступает блочному на два порядка и более [8]. Следовательно, увеличение поверхности катализатора, доступной для реакции конверсии ме-

Катализатор	+ 0C 00 W	Производительность			
	t, °C, 80 %-ной конверсии	мкмоль/(с∙г _{кат})	мкмоль/(с∙г _{NiO})		
ГИАП-18 ($d = 1 \div 2 \text{ мм}$)	485	12,96	1,62		
8,2 % NiO + 11,2 % Al ₂ O ₃ /кордиерит	480	38,3	4,8		
3,8 % NiO/11,2 % Al ₂ O ₃ /кордиерит	492	30,0	7,8		
1 % NiO/2 % Al ₂ O ₃ /кордиерит	533	27,6	27,6		
ГИАП-18 ($d = 15 \times 15 \text{ мм}$)	_	0, 144 [*]	0,23*		

Таблица 1 Активность и производительность катализаторов в УКМ (концентрации, об.%: 5,0 СН₄, 7,0 СО₂)

тана, возможно посредством использования структурированных носителей, толщина стенки которых сопоставима с толщиной работающего слоя [9].

Важным компонентом структурированных катализаторов является вторичный носитель, формирующий нужную морфологию поверхности, обеспечивающий стабильную и прочную связь каталитически активных компонентов с материалом основы, способствующий увеличению дисперсности активного компонента и повышению его производительности, что позволяет минимизировать содержание активной фазы в катализаторах.

На рис. 1 приведены результаты исследования ак-

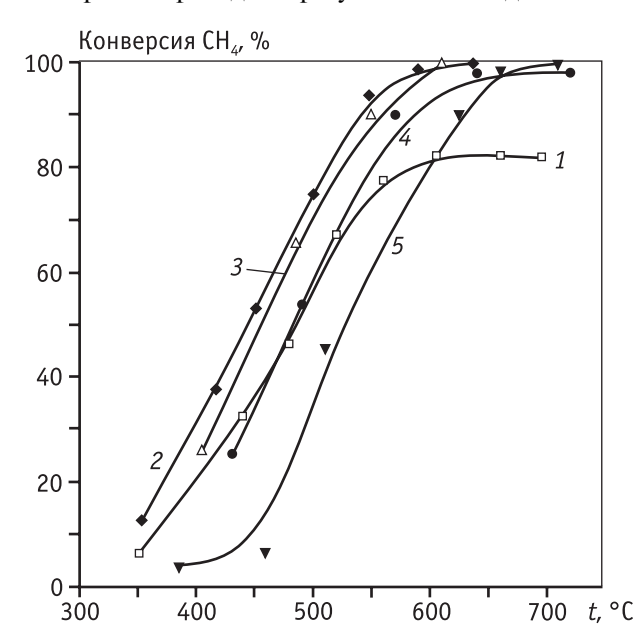


Рис. 1. Зависимости конверсии метана от температуры в присутствии катализаторов состава: 1-11,1%NiO; 2-11,0%NiO + 11,9%Al $_2$ O $_3$; 3-3,8%NiO + 3,9%Al $_2$ O $_3$; 4-1,8%NiO + 1,5% Al $_2$ O $_3$; 5-1,0%NiO + 1,5%Al $_2$ O $_3$ Концентрации реагентов, об.% : CH $_4-5,5$; CO $_2-7,0$

тивности структурированных $Ni-Al_2O_3$ -катализаторов с разным содержанием нанесенной фазы. В присутствии катализатора без вторичного носителя полная конверсия метана не достигается. Вторичный носитель — Al_2O_3 существенно повышает активность катализатора с одинаковым содержанием никеля. Уменьшение концентрации активного компонента от 11 до 1,8 мас.% более чем в 5 раз приводит лишь к незначительному уменьшению активности [9].

На примере исследования низкоконцентрированных катализаторов показано, что существует определенный диапазон концентраций вторичного носителя, в котором его влияние на каталитическую активность положительно. Из зависимостей на рис. 2 видно, что активность низкопроцентного (1,0% NiO) катализатора (кривая 1) невысока. Вторичный носитель увеличивает каталитическую активность, максимальное значение которой достигается при соотношении концентраций NiO и Al₂O₃, которое соответствует образованию шпинели алюмината никеля (кривая 2). При дальнейшем возрастании концентрации вторичного носителя активность катализатора уменьшается (кривая 3). Это может быть связано как с возникновением диффузионных осложнений, так и с увеличением кислотности поверхности катализатора.

На дифрактограммах картин исходных (не восстановленных) катализаторов (рис. 3) нет дифракционных пиков 1.1.1 ($2\theta = 37,2$ град.) и 2.0.0 ($2\theta = 43,3$ град.) от окристаллизованной фазы никеля. Параметр элементарной ячейки ($a = 798,6 \div 799,6$ нм) носителя существенно превышает величину, характерную для фазы γ -Al₂O₃ ($a = 791 \div 792$ нм), что свидетельствует о вхождении ионов никеля в шпинельную структуру оксида алюминия с образованием твердого раствора в процессе приготовления катализатора.

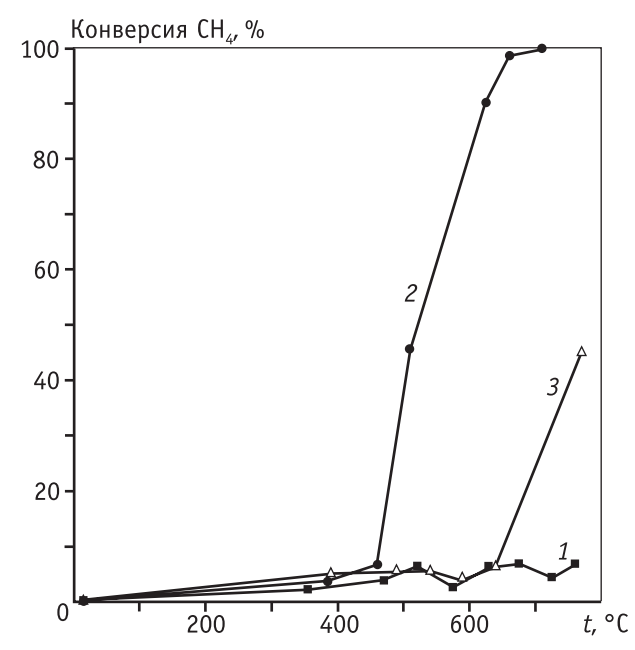


Рис. 2. Зависимости конверсии метана от температуры на катализаторах с разным содержанием вторичного носителя : 1-1,0%NiO + 0%Al₂O₃; 2-1,0%NiO + 1,5%Al₂O₃; 3-1,0%NiO + 13,1%Al₂O₃

Концентрации реагентов - см. подпись к рис. 1

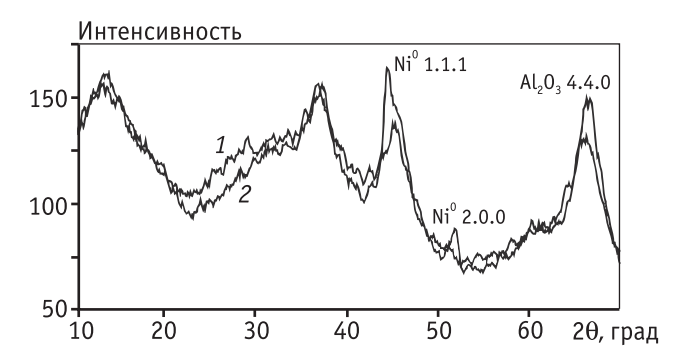


Рис. 3. Дифрактограммы катализатора $Ni0/Al_2O_3$ до (1) и после (2) восстановления

Следовательно роль вторичного носителя в том, что в процессе синтеза катализатора на стадии термической обработки образуется шпинель $NiAl_2O_4$, при восстановлении которой появляются частицы мелкодисперсного металлического никеля, стабилизированного в матрице Al_2O_3 [10]. Согласно [11], именно нанокомпозитные Ni-содержащие катализаторы характеризуются высокой активностью в процессе УКМ, поскольку обеспечивают необходимое соотношение между скоростями диссоциации CH_4 и активации молекул CO_2 .

Таким образом, вторичный носитель (Al_2O_3) — необходимый компонент структурированных Ni-

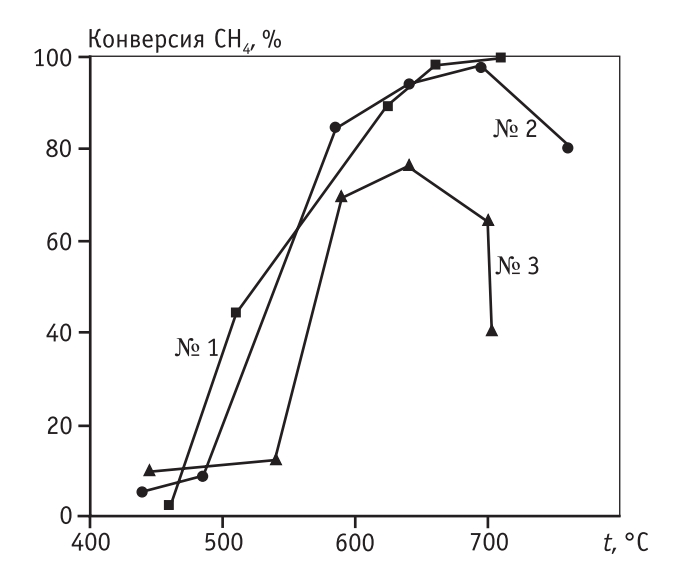


Рис. 4. Изменение активности катализатора (1,0 % Ni + + 2,0 % Al_2O_3)/кордиерит при УКМ в условиях повторения опытов № 1-№ 3

Концентрации реагентов – см. подпись к рис. 1

содержащих катализаторов УКМ, повышающий их активность и термическую устойчивость [10, 12, 13].

Стабильность работы катализаторов в процессе УКМ оценивают посредством последовательного определения зависимостей x = f(t) на одном и том же образце катализатора. Из рис. 4 видно, что уже во втором опыте полная конверсия метана на Ni—Al₂O₃-катализаторе не достигается. При росте температуры выше 700 °C конверсия снижается. В третьем опыте снижение конверсии (интервал между замерами активности — 15 мин) наблюдается в изотермических условиях.

Возможными путями образования кокса на катализаторе могут быть реакции [2]:

$$CH_4 \leftrightarrow C + 2H_2, \Delta H_{298K} = +74.8 \text{ кДж/моль},$$
 (4)

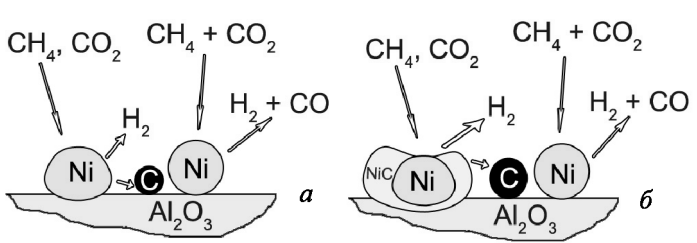
$$2\text{CO} \leftrightarrow \text{C} + \text{CO}_2, \Delta H_{298\text{K}} = -172,5 \text{ кДж/моль.}$$
 (5)

Согласно термодинамике, первой реакции содействует повышение, а второй — снижение температуры. В наших экспериментах (см. рис. 4) установлено, что наиболее заметное уменьшение активности катализатора происходит при повышенных температурах. Следовательно, наиболее вероятный маршрут зауглероживания катализатора — реакция (4).

Существует несколько решений проблемы зауглероживания катализаторов УКМ: частичное отравление поверхности катализатора, введение добавок металлов платиновой группы; регулирование

размерных характеристик [1, 3]. С уменьшением частиц металлического никеля повышается стойкость работы катализаторов в процессе УКМ, наиболее стабильны катализаторы с 10-20-нм Ni-частицами [11, 14, 15]. Примененная нами технология синтеза катализатора обеспечивает образование шпинели NiAl₂O₄, при восстановлении которой стабилизируется мелкодисперсный металлический никель (с ~10-нм частицами) в матрице Al_2O_3 .

В условиях УКМ углерод образуется в виде волокон, которые плотно покрывают поверхность катализатора [10]. Схема отложения и накопления углерода (от $a ext{ к } \theta$):



На поверхности катализатора можно выделить два типа Ni-частиц с разной морфологией [16]. Частицы с более дефектной структурой [грани типа (1 0 0)] менее прочно связаны с поверхностью носителя, и на них поддерживается баланс между скоростью диссоциации метана с образованием поверхностного углерода и его окислением, т.е. происходит конверсия метана (а). Частицы с более упорядоченной морфологией [преобладают грани никеля типа

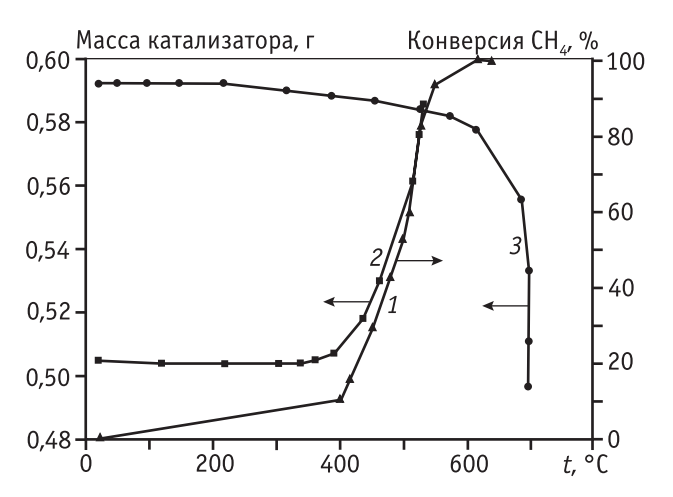


Рис. 5. Температурные зависимости конверсии метана (1) и изменения массы катализатора при образовании поверхностного углерода: $\mathrm{CH_4} \to \mathrm{2H_2} + \mathrm{C}$ (2) и его окислении $\mathrm{CO_2} + \mathrm{C} \leftrightarrow \mathrm{2CO}$ (3)

Концентрации реагентов - см. подпись к рис. 1

(1 1 1)] более прочно связаны с поверхностью. На их поверхности скорость образования углерода больше, чем его окисления, при этом углерод полимеризуется, растворяется в никеле с образованием карбида (б) [17, 18]. Углерод, аккумулированный в результате поверхностной диффузии, образуя волокнистоподобные структуры, достигает соседних слабосвязанных Ni-частиц и отрывает их от поверхности носителя (в). Процесс конверсии метана с образованием H₂ и CO продолжается на поверхности Ni-частиц, которые находятся на конце волокон, т.е. определенная активность катализатора сохраняется, несмотря на большое количество накопленного волокнистопо-

добного углерода [19].

Контролирующие стадии УКМ — диссоциация метана и окисление образовавшегося углерода [1, 3, 12]. На рис. 5 приведены зависимости, которые позволяют со-

CH₄ + CO₂ H₂ + CO
Nic
Ni
Al₂O₃

поставить температурные режимы реакций диссоциации метана, окисления углерода по обратной реакции Будуара и УКМ. Видно, что температурные интервалы процессов УКМ (кривая *I*) и крекинга метана (кривая *2*) практически совпадают. Окисление поверхностного углерода происходит при температуре, более высокой (кривая *3*), чем температура каталитической реакции УКМ. Полученные данные позволяют считать, что поверхностный углерод на данных катализаторах окисляется не по обратной реакции Будуара [20], а взаимодействием с поверхностным адсорбированным кислородом — продуктом диссоциации СО₂.

Установлено, что температурные режимы выгорания углерода не зависят от степени покрытия поверхности катализатора, свидетельствуя, что осаждение углерода на поверхности происходит по механизму, аналогичному рассмотренному, с образованием волокнистоподобных структур.

Модифицирование Ni/Al₂O₃-катализаторов добавками щелочных и редкоземельных металлов

Стабильность работы катализаторов УКМ повышается вследствие увеличения основности поверхности, хотя оно может сопровождаться некоторым уменьшением каталитической активности.

Если катализатор Ni-Al₂O₃ наиболее активен в начальный период работы, то Ni-катализаторы на основных носителях (MgO, CaO, MnO) превосходят Ni—Al₂O₃-катализаторы по эксплуатационным свойствам, проявляя определенную стойкость к зауглероживанию [21, 22]. На рис. 6 приведены температурные зависимости конверсии метана в присутствии катализаторов, которые содержат модифицирующие добавки щелочных металлов. Наиболее активен катализатор, модифицированный K_2O (кривая 1), наименее — Li_2O (кривая 3). Возможно, оксид лития при высоких температурах переводит металлический никель [23] в оксид, который неактивен в данном процессе [3, 12]. Увеличение содержания оксида калия до 1,3 % приводит к некоторому снижению активности катализатора, но при этом увеличивается стабильность катализатора. Таким образом, добавки оксидов щелочных металлов (K_2O , Na_2O) повышают стабильность работы Ni-Al-катализаторов в процессе УКМ, что обусловлено замедлением процессов зауглероживания [8].

В процессе паровой конверсии метана проблема зауглероживания катализатора решается введени-

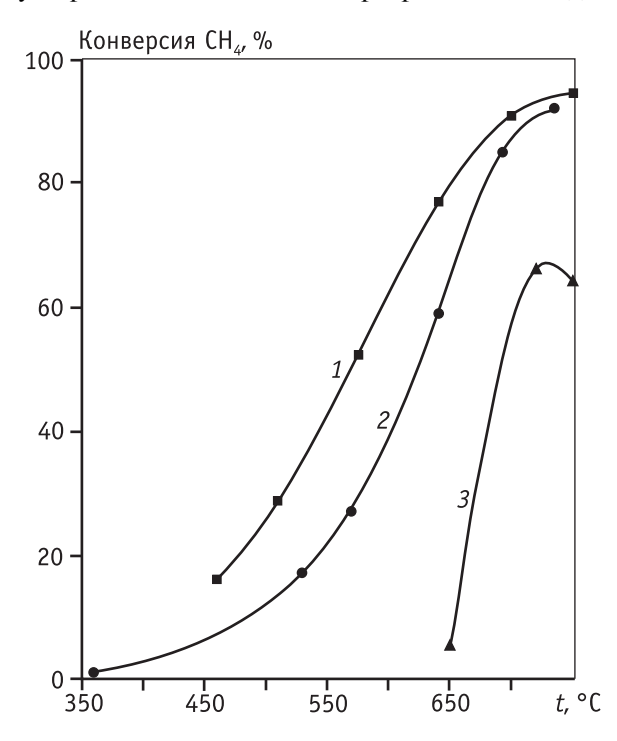


Рис. 6. Температурные зависимости конверсии метана в присутствии катализаторов (1,0 % NiO + 2,0 % Al₂O₂) с щелочными добавками: 1-0.6 % K₂O; 2-0.9 % Na₂O; 3-0.7 % Li₂O Концентрации реагентов — см. подпись к рис. 1

Таблица 2 Влияние концентрации CO_2 на процесс УКМ при (700 °C, C_{H_2} = 5,5 oб.%)

Катализаторы состава 1,0 % NiO + 2,0 % Al ₂ O ₃	Конверсия метана, %, при CO ₂ /CH ₄					
	1,3	1,6	1,8	2,2		
+ 0,6 % K ₂ 0	98	90	85	78		
+ 1,3 % K ₂ 0	95	88	77	63		

ем в реакционную смесь избыточного количества окислителя — H_2O [24]. Поэтому нами было изученное влияние концентрации CO_2 на УКМ. Из табл. 2 видно, что повышение концентрации CO_2 конверсия метана снижается. При увеличении содержания K_2O в составе катализатора от 0,6 до 1,3 % отрицательное влияние повышенных концентраций окислителя усиливается. Возможно, это связано с процессом взаимодействия CO_2 с K_2O , в результате которого образуются малоактивные поверхностные карбонаты [25]. Приведенные данные — еще одно подтверждение, что стадия взаимодействия CO_2 с углеродом по обратной реакции Будуара не может рассматриваться как основной маршрут реакции УКМ [12, 25].

Анализ полученных результатов и данных [1, 26] позволяют предложить схему механизма УКМ на $Ni-Al_2O_3$ -катализаторах:

$$CH_4 + Z \leftrightarrow \{CH_x\} - Z + (4 - x)H_{a\pi c} \leftrightarrow ZC + 2H_2$$
, (6a)

$$CO_2 + Z \leftrightarrow Z - O + CO,$$
 66)

$$Z - C + Z - O \leftrightarrow Z - CO + Z,$$
 (6*e*)

$$Z - CO \leftrightarrow Z + CO$$
, (62)

где Z —активный центр катализатора.

Активация метана и его последующая диссоциация, в результате которой образуются водород и углерода, идут на металлическом никеле. Лимитирующей является стадия «s», в которой углерод окисляется кислородом поверхности, образующимся при диссоциации CO_2 (стадия « δ »). Высокая кислотность поверхности увеличивает скорость активации метана (стадия «a»), одновременно стимулируя накопление сажи, в результате чего активность катализатора снижается. Подавить накопление сажи на катализаторе можно, регулируя кислотно-основные свойства поверхности с вероятным уменьшением каталитической активности [21].

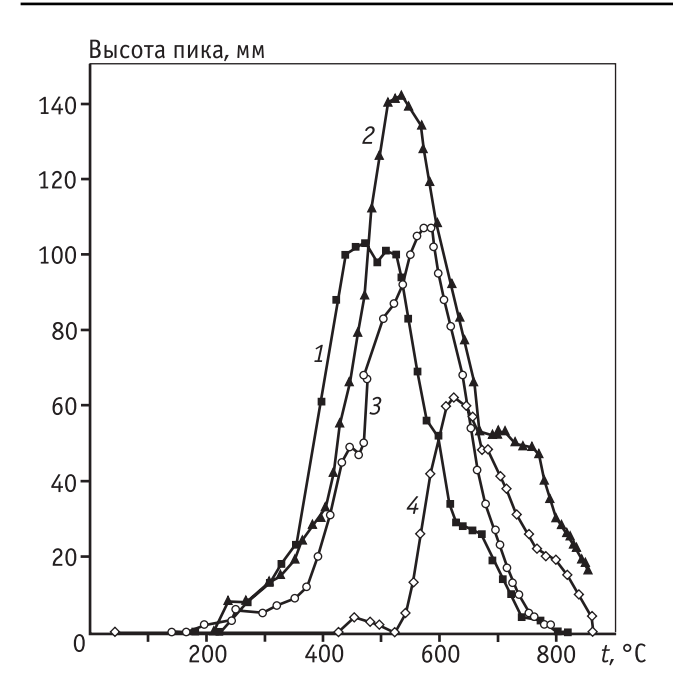


Рис. 7. Кривые ТПВВ образцов состава 1,0 % NiO + + 2,0 % Al_2O_3 без (1) и с добавками: 0,6 % K_2O (2), 0,9 % Na_2O (3), 0,7 % Li_2O (4)

Каталитическую активность оксидных катализаторов в окислительно-восстановительных реакциях обычно объясняют энергией связи кислород-катализатор, качественными характеристиками которой являются температуры начала процесса восстановления водородом, а также максимума на кривых ТПВВ (рис. 7) образцов Ni—Al₂O₃-катализаторов, не содержащих (кривая 1) и содержащих добавки щелочных металлов (кривые 2-4). Видно, что модифицирование Ni—Al₂O₃-катализатора оксидами щелочных металлов повышает температуру начала восстановления и сдвигает максимумы на кривых ТПВВ в область более высоких температур. Следовательно, скорость восстановления катализаторов водородом уменьшается последовательно в ряду:

$$NiO-Al_2O_3-K_2O, NiO-Al_2O_3-Li_2O.$$
 (7)

Аналогично изменяется активность катализаторов при УКМ.

Результаты этих экспериментов согласуются с приведенной схемой механизма УКМ, согласно которой поверхностный углерод — продукт диссоциативной адсорбции метана окисляется кислородом с поверхности катализатора, образующимся в результате диссоциации ${\rm CO}_2$.

Роль щелочного металла в составе модифицированного катализатора, по-видимому, заключается в содействии образованию на поверхности высокодисперсных, не обнаруживаемых рентгенографически Ni-частиц, подавляющих осаждение углерода [9, 27]. Кроме того, щелочные металлы в результате снижения кислотности поверхности катализатора способны замедлять диссоциацию метана, ведущую к образованию кокса. Поэтому присутствие калия в катализаторе не только уменьшает степень зауглероживания, но и снижает конверсию метана.

В отличие от оксидов щелочных металлов, модифицирующие добавки оксидов P3M (L_2O_3 , CeO_2) позволяют в определенных пределах варьировать CO_2/CH_4 без снижения конверсии метана (рис. 8). Это может быть связано с возможностью в присутствии катализаторов, модифицированных слабоосновными оксидами (например, La_2O_3) реализации дополнительного маршрута активации CO_2 образованием карбонатов металлов и их взаимодействием с углеродом поверхности по схеме [28]:

$$CH_4 + [Ni] \leftrightarrow [Ni] - C + 4 H_{alic},$$
 (8a)

$$CO_2 + [La_2O_3] \leftrightarrow [La_2O_2CO_3],$$
 (86)

$$[Ni] + [La_2O_2CO_3] \rightarrow CO + [Ni] - O + [La_2O_3], (8e)$$

$$[Ni]\cdots C + [Ni]\cdots O \rightarrow 2[Ni] + CO.$$
 (82)

На катализаторе Ni/Al_2O_3 активация CO_2 осуществляется с меньшей скоростью, чем диссоциация

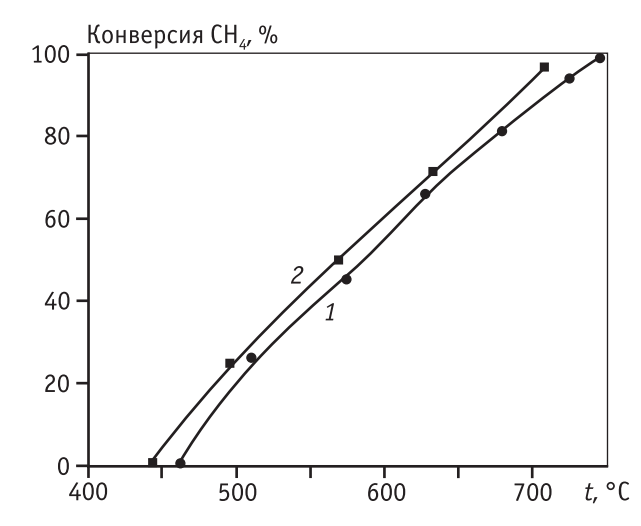


Рис. 8. Температурные зависимости конверсии метана на катализаторе (2,5% NiO+1,0% $La_2O_3+2,0\%$ Al_2O_3)/кордиерит при $CO_2/CH_4=1,25$ (1), 2,5 (2) Концентрация $CH_4-4,1$ об.%

 ${\rm CH_{4,}}$ что является причиной его зауглероживания. На поверхности металлического никеля реакции адсорбции ${\rm CH_{4}}$ и ${\rm CO_{2}}$ конкурируют [29]. В присутствии композиции ${\rm Ni-La_{2}O_{3}}$ частично разделяются стадии УКМ: на ${\rm Ni}$ диссоциирует ${\rm CH_{4}}$, а на ${\rm La_{2}O_{3}}$ — активируется ${\rm CO_{2}}$ [30]. После модифицирования ${\rm Ni-cogepxamero}$ катализатора ${\rm La_{2}O_{3}}$ -оксидом ${\rm CO_{2}}$ адсорбируется с образованием поверхностных карбонатов лантана, при разложении которых образуются ${\rm CO}$ и дополнительные кислородные вакансии [31]. Кислород для окисления поверхностного углерода обеспечивается его переносом от ${\rm La_{2}O_{3}}$ на ${\rm Ni}$.

Влияние кислорода на процесс углекислотной конверсии метана

Реакционная способность CO_2 , окислителя в процессе УКМ невысока, это обусловлено его электронным строением. Ускорить УКМ можно, используя окислитель с более высокой реакционной способностью, например O_2 . Кроме того, коэффициент молекулярной диффузии O_2 (17,3 мкм/с при 500 °C) значительно выше, чем у CO_2 (14,2 мкм/с при той же температуре).

Поэтому следует ожидать, что введение кислорода позволит не только частично решить проблему подвода тепла в зону реакции, но и уменьшить влияние диффузных осложнений, связанных с подводом окислителя в зону реакции, являющейся одной из причин зауглероживания внутренних слоев зерна катализатора [32]. Несмотря на очевидную привле-

кательность процесса оксиуглекислотной конверсии метана, работ в этом направлении немного [1] ввиду того, что металлический никель, ответственный за диссоциативную адсорбцию метана, способен легко окисляться до неактивного в этом процессе NiO, прекращая УКМ [33].

В табл. 3 приведены данные, характеризующие активность Ni-Al₂O₃-катализаторов в реакции окисления CH_4 при разных соотношениях O_2 и СН₄. В условиях, соответствующих стехиометрии реакции глубокого окисления метана (O_2 : $CH_4 > 2$) на катализаторе состава, об.%: 7,5NiO + 1,5Al₂O₃ максимальная конверсия СН₄, которая достигается при 575 °C, не превышает 40 %. При $t \ge 600$ °C катализатор работает нестабильно, в изотермических условиях конверсия СН₄ быстро снижается. До 600 °С единственным углеродсодержащим продуктом процесса является CO_2 , при более высоких температурах (600-650 °C) образуются некоторые количества СО и Н2, катализатор разрушается, полностью теряя первоначальную конструкционную форму сотовой структуры, так как в условиях реакции окисления метана образуется углерод в виде мелкодисперсной сажи, которая осаждается в глубине пор и постепенно заполняет поры катализатора изнутри, не препятствуя диффузии метана [1, 3].

При высоких температурах, которые соответствуют условиям УКМ, катализатор не разрушается, поскольку углерод осаждается преимущественно на внешней поверхности катализатора в виде

Таблица 3 Активность никельсодержащих катализаторов в окислении метана

Состав катализатора	<i>С</i> ^{исх} , об.%		TH34 OC	K ^{max} ,%	С _{п.п.о} , об.%		Сел _{п.п.о} , %	
	CH ₄	02	t _p ^{нач} , °C	t _κ ,°C	CO	H ₂	CO	H ₂
7,5 % NiO + 1,5 % Al ₂ O ₃	3,33	9,27	375	40/575	0,02	0	1,5	0
	4,4	3,7	420	35/675	0	0	0	0
	5,5	2,88	420	45/575	1,8	2,0	72	40
5,8 % NiO + 1,4 % La ₂ O ₃ + + 5,4 % Al ₂ O ₃	3,4	9,29	400	65/750	0,3	0,1	14	4
	4,68	4,5	405	32/775	0	0,2	0	7
	5,15	2,19	410	90/740	5,0	9,2	97	100
	5,32	2,77	405	85/670	4,5	8,6	99	95
5,8 % NiO + 1,6 % CeO ₂ + + 5,4 % Al ₂ O ₃	2,42	6,93	450	48/740	0,28	0	24	0
	3,3	3,6	450	14/744	0,17	0	36	0

пространственных структур — нитей, нанотрубок и т.д. [34].

На модифицированном оксидом лантана катализаторе состава, об.%: 5,8 NiO + 1,4 La₂O₃ + 5,4 Al₂O₃ глубокое окисление метана начинается при более высокой температуре — 400 °C. Данный катализатор стабильнее, чем немодифицированный образец, но и в этом случае наблюдается некоторое уменьшение его активности со временем. Единственный углеродсодержащий продукт в этих условиях — CO₂. Образование водорода (до 0,2 об.%) при полном отсутствии CO свидетельствует о крекинга метана (CH₄ \leftrightarrow 2H₂ + C), что является причиной нестабильной работы катализатора.

При концентрациях реактантов, близких эквимолекулярным, основные продукты реакции — CO_2 и H_2O , а CO и H_2 обнаружены лишь в следовых количествах. Но при понижении концентрации кислорода до соответствующей стехиометрии реакции парциального окисления метана (O_2 : $CH_4 \approx 0.5$) возрастают концентрации CO и H_2 , селективность по этим продуктам достигает 99-100%.

Активность катализатора, модифицированного оксидом церия (5,8 % NiO + 1,6 % CeO₂ + 5,4 % Al₂O₃), значительно ниже. Процесс начинается при 450 °C, максимальная конверсия метана достигается при 740 °C и составляет 48 %. Основным углеродсодержащим продуктом также является CO_2 , при t > 650 °C образуются небольшие количества CO (до 0,28 об.%) при отсутствии водорода. В ряде опытов наблюдалась конверсия кислорода, превышающая стехиометрическую, что может быть проявлением эффекта накопления кислорода катализатором, содержащим CeO_2 .

Сопоставление приведенных в табл. 3 данных показывает, что наиболее высокую активность в реакции парциального окисления метана проявил никельалюминиевый катализатор, модифицированный оксидом лантана.

Кинетика реакции окисления метана на никельалюминиевых катализаторах при O_2 : $CH_4 \ge 2$ описывается уравнением первого порядка по метану и нулевого по кислороду [35]. Следовательно, степень покрытия поверхности катализатора кислородом близка к равновесной, а приповерхностный слой находится в окисленном состоянии. При уменьшении O_2 : CH_4 наблюдаются снижение порядка реакции по метану до нулевого или близкого к нулевому и повышение порядка реакции по кислороду до первого и выше. В этих условиях поверхность катализа-

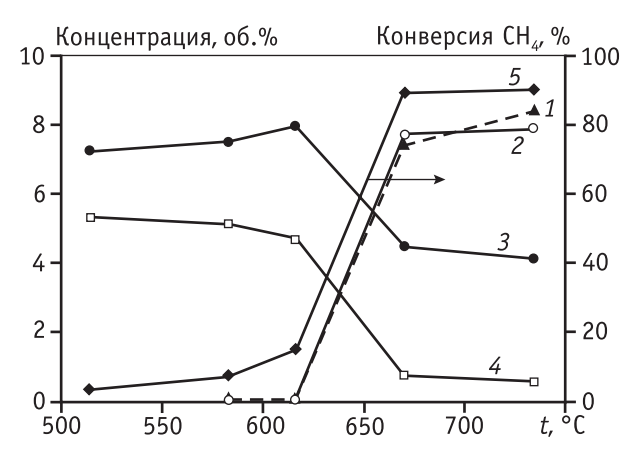


Рис. 9. Зависимости концентраций продуктов: CO (1), H_2 (2), реактантов: CO_2 (3), CH_4 (4) и конверсии CH_4 (5) в процессе окси-углекислотной конверсии CH_4 на катализаторе (3,8%NiO + 1,1%La₂O₃ + 3,7%Al₂O₃)/кордиерит Концентрации реагентов, об.%: CH_4 – 5,2; CO_2 – 6,9; O_2 – 2,52

тора полностью восстановлена и покрыта соединениями, образовавшимися при диссоциации метана, а единственный углеродсодержащий продукт — монооксид углерода [36].

Приведенные на рис. 9 зависимости позволяют оценить влияние кислорода на процесс УКМ в присутствии никель-алюминиевого катализатора, модифицированного оксидом лантана (3,8 % NiO + 1,1% $\rm La_2O_3$ +3,7 % $\rm Al_2O_3$). До 620 °С идет только реакция глубокого окисления метана, о чем свидетельствуют возрастание концентрации $\rm CO_2$ и отсутствие в продуктах реакции водорода. При повышении температуры до 665 °С наблюдаются рост конверсии метана и появление в продуктах реакции $\rm CO$ и $\rm H_2$ при снижении концентрации $\rm CO_2$. Расчеты показывают, что селективность по $\rm H_2$ достигает 89 %, а по $\rm CO-98$ %.

Анализ наших результатов и данных [35—37] позволяет сделать вывод, что на окисленных центрах Ni—Al₂O₃-катализатора CH₄ окисляется до CO₂ и H₂O (стадия « δ »), что возможно при соотношениях CH₄/O₂<2, а на восстановленных (при CH₄/O₂>2) — диссоциация метана (стадия « δ »). В совмещенной схеме:

$$[Ni] + 1/2O_2 \rightarrow [NiO], \tag{9a}$$

$$CH_4 + 4[NiO] \rightarrow CO_2 + 2H_2O + 4[Ni],$$
 (96)

$$CH_4 + [Ni] \rightarrow [Ni] \cdots CH_x + (4-x)H_{a,c.} \leftrightarrow$$

$$\leftrightarrow$$
 [Ni]····C + $4H_{\text{auc}}$, (98)

$$CO_2 + [Ni] \rightarrow [Ni] \cdot \cdot \cdot O + CO,$$
 (92)

$$H_{\text{адс.}} + H_{\text{адс.}} \to H_2,$$
 (9 ∂)

$$[Ni]\cdots C + [Ni]\cdots O \rightarrow [Ni] + [Ni]\cdots CO,$$
 (9e)

$$[Ni] - CO \rightarrow [Ni] + CO,$$
 (9xc)

$$2H_{\rm agc.} + [\rm NiO] \rightarrow [\rm Ni] + H_2O, \tag{9u}$$

$$[Ni]$$
···CO + $[NiO] \rightarrow 2[Ni] + CO_2$. (9 κ)

присутствуют оба типа центров.

При модифицировании катализаторов Ni—Al $_2$ O $_3$ / кордиерит оксидами P3M (La $_2$ O $_3$, CeO $_2$) достигается увеличение их активности и стабильности работы в процессах как глубокого, так и парциального окисления метана.

На рис. 10 приведены зависимости, которые позволяют оценить влияние концентрации кислорода на УКМ в присутствии катализатора (6,3 % Ni + + 1,4 % La₂O₃ + 3,8 % Al₂O₃)/кордиерит при 560 °C. Увеличения концентрации кислорода от 0 до 0,88 об.% приводит к росту конверсии метана и некоторому повышению селективности по водороду (от 90 до 92 %); селективность по СО при этом остается практически неизменной. Дальнейшее повышение концентрации O₂ до 2,5 об.%. сопровождается монотонным ростом конверсии CH₄ до 88 %. Селективность по СО при этом уменьшается от 97 до 71 %, а по H₂ снижается лишь незначительно.

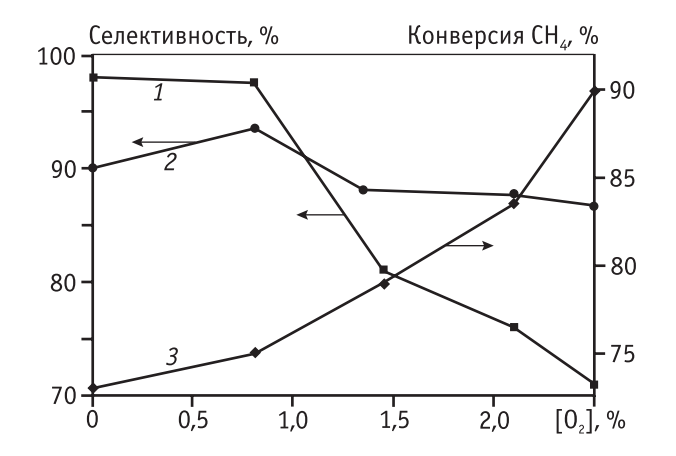


Рис. 10. Влияние концентрации кислорода на селективность по CO (1) и $\rm H_2$ (2) катализатора (6,3 % Ni + + 1,4 % $\rm La_2O_3$ + 3,8 % $\rm Al_2O_3$)/кордиерит в процессе УКМ при 560 °C (1, 2) конверсию метана (3) Концентрации реагентов, об.%: $\rm CH_4$ – 5,2; $\rm CO_2$ – 6,9

Заключение

Приведенные результаты показывают, что на основе керамических блочных матриц сотовой структуры из синтетического кордиерита могут быть получены эффективные $Ni-Al_2O_3$ -катализаторы углекислотной конверсии метана, которые по производительности существенно превосходят традиционные гранулированные контакты. Повышение стабильности работы катализаторов в процессе УКМ достигается регулированием кислотно-основных свойств поверхности введением модифицирующих добавок оксидов щелочных или редкоземельных металлов.

Модифицирование Ni—Al₂O₃-катализаторов оксидами P3M с невысоким редокс-потенциалом (La₂O₃, CeO₂) приводит к повышению их активности и стабильности работы в процессах глубокого и парциального окисления метана, УКМ. В реакции парциального окисления метана никельалюминиевый катализатор, модифицированный оксидом лантана, обеспечивает практически 100 %-ную селективность по водороду.

Процесс УКМ на катализаторе (NiO + La_2O_3 + Al_2O_3)/кордиерит можно интенсифицировать введением в реакционную смесь кислорода. Это позволяет снизить температуру достижения высоких конверсий CH_4 при практически неизменной селективности процесса УКМ по H_2 . Селективность по СО при этом снижается, что может быть связано с окислением СО в CO_2 . Даже избыток окислителя не приводит к дезактивации этого катализатора, что позволяет варьировать O_2 : CH_4 в реакционной газовой смеси.

Полученные результаты могут быть использованы для создания катализаторов процесса оксиуглекислотной конверсии метана в синтез-газ с регулируемым H_2 : CO.

Литература

- 1. *Арутюнов В.С., Крылов О.В.* Окислительная конверсия метана // Успехи химии. 2005. № 12. С. 1216.
- Chunshan Song, Wei Pan. Tri-reforming of methane: a novel concept for catalytic production of industrially useful synthesis gas with desired H₂/CO ratios//Catal. Today. 2004. Vol. 98, Issues 4. P. 463.
- 3. *Крылов О.В.* Углекислотная конверсия метана в синтез-газ // Рос.хим.журнал. 2000. Т. 44. № 1. С. 19.
- 4. Lee S.-H., Cho W., Ju W.-S. et al. Tri-reforming of CH₄

- using CO₂ for production of synthesis gas to dimethyl ether// Catal. Today. 2003. Vol. 87, Issues 1-4. P. 133.
- 5. *Содесава Т.* Восстановление диоксида углерода углеводородами в присутствии гетерогенных катализаторов//Кинетика и катализ. 1998. Т.40. №3. С. 452.
- Giroux T., Hwang S., Ye Liu, Ruettinger W., Shore L. Monolithic structures as alternatives to particulate catalysts for the reforming of hydrocarbons for hydrogen generation// Appl. Catal.:B. 2005. Vol. 56, Issues 4. P. 95.
- Heck R.M., Gulatiand S., Farrauto R.J. The application of monoliths for gas phase catalytic reactions Original Research Article//Chem. Eng. J. 2001. Vol. 82, Issues 1-3. P. 149.
- 8. Соловьев С.А., Зателепа Р.Н., Губарени Е.В. и др. Влияние добавок щелочных металлов (K₂O, Na₂O, Li₂O) на активность и стабильность работы Ni/Al₂O₃ катализаторов в процессе углекислотной конверсии метана // Журнн. прикл. химии. 2007. Т. 80. №11. С. 1858.
- 9. *Соловьев С.А., Капран А.Ю., Орлик С.Н.* Окислительная конверсия метана на структурированных катализаторах M/Al₂O₃/кордиерит (M=Ni, Cu, Zn)// Теорет. эксперим.химия. 2007. Т. 43. № 5. С. 299.
- 10. *Hou Z., Yokota O., Tanaka T., Yashima T.* Investigation of CH₄ Reforming with CO₂ on Meso-Porous Al₂O₃-Supported Ni Catalyst // Catal. Lett. 2003. Vol. 89. № 1-2. P. 121.
- Xu B.-Q., Wei J.-M., Yu Y.-T. et al. Size Limit of Support Particles in an Oxide-Supported Metal Catalyst: Nanocomposite Ni/ZrO₂ for Utilization of Natural Gas // J. Phys. Chem., B. 2003. Vol. 107. P. 5203.
- 12. *Бычков В.Ю., Крылов О.В., Корчак В.Н.* Исследование механизма углекислотной конверсии метана на Ni/α - Al_2O_3 // Кинетика и катализ. 2002. Т. 43. № 1. С. 94.
- 13. Zheng Xu, Yumin Li, Jiyan Zhang et al. Ultrafine NiO—La₂O₃—Al₂O₃ aerogel: a promising catalyst for CH₄/CO₂ reforming // Appl.Catal.:A. 2001. Vol. 213, Issue 1. P. 65.
- 14. Jun-Mei Wei, Bo-Qing Xu, Jin-Lu Li et al. Highly active and stable Ni/ZrO₂ catalyst for syngas production by CO₂ reforming of methane // Appl.Catal.:A. 2000. Vol. 196, Issues 2. P. L167.
- Bo-Qing Xu, Jun-Mei Wei, Hai-Yan Wang et al. Nano-MgO: novel preparation and application as support of Ni catalyst for CO₂ reforming of methane Original Research Article // Catal.Today. 2001. Vol. 68, Issues 1-2. P. 217.
- Xinli Zhu, Peipei Huo, Yue-ping Zhang et al. Structure and reactivity of plasma treated Ni/Al₂O₃ catalyst for CO₂ reforming of methane //Appl.Catal.:B. 2008. Vol. 81, Issues 1-2. P. 132.
- Laosiripojana N., Assabumrungrat S. Catalytic dry reforming of methane over high surface area ceria // Appl.Catal.:
 B. 2005. Vol. 60, Issues 1-2. P. 107.

- 18. Rostrup-Nielsen J.R., Nimrskov J.K. Step sites in syngas catalysis // Top.Catal. 2006. Vol. 40. № 1-4. P. 45.
- 19. De Chen, Christensen K.O., Ochoa-Fernóndez E. et al. Synthesis of carbon nanofibers: effects of Ni crystal size during methane decomposition Original Research Article // J. Catal. 2005. Vol. 229. № 1. P. 82.
- Фирсова А.А., Тюленин Ю.П., Хоменко Т.И. и др. Углекислотная конверсия метана на Со-содержащих катализаторах // Кинетика и катализ. 2003. Т. 44. № 6. С. 893.
- 21. *Toshihiko O., Toshiaki M.* Role of Potassium in Carbon-Free CO₂ Reforming of Methane on K-Promoted Ni/Al₂O₃ Catalysts // J. Catal. 2001. Vol. 204. № 1. P. 89.
- 22. *Kim J.-H., Suh D.J., Park T.-J.* et al. Int. Natural Gas Conversion Symp. Giardini-Naxos, Sicily, 1998. Amsterdam: Elsevier. 1998. P. 771.
- 23. *Капран А.Ю. Орлик С.Н.* Влияние добавок щелочных металлов на активность и селективность структурированных серебряных катализаторов в реакции эпоксидирования этилена оксидом азота (I) // Теорет. и эксперим. химия. 2005. Т. 41. № 6. С. 360.
- 24. *Кетов А.А., Саулин Д.В., Пузанов И.С.* и др. Паровая конверсия метана на блочных катализаторах // Журн. прикл. химии. 1997. Т. 70. № 3. С. 446.
- 25. Бычков В.Ю., Тюленин Ю.П., Крылов О.В., Корчак В.Н. Углекислотная конверсия метана на катализаторе Со/α-Al₂O₃: Образование, состояние и превращения поверхностного углерода // Кинетика и катализ 2002. Т. 41. № 5. С. 775.
- 26. Bradford M.C.J., Vannice M.A. Catalytic reforming of methane with carbon dioxide over nickel catalysts I. Catalyst characterization and activity // Appl. Catal. A. 1996. Vol. 142. № 1. P. 73.
- 27. *Osaki T., Mori T.* Role of Potassium in Carbon-Free CO₂ Reforming of Methane on K-Promoted Ni/Al₂O₃ Catalysts // J. Catal. 2001. Vol. 204. № 1. P. 89.
- 28. *Slagtern A., Schuurman Y., Leclercq C.* et al. Specific Features Concerning the Mechanism of Methane Reforming by Carbon Dioxide over Ni/La₂O₃Catalyst // J. Catal. 1997. Vol. 172. № 1. P. 118.
- 29. Toshihiko Osaki1, Haruhiko Fukaya, Tatsuro Horiuchi et al. Isotope Effect and Rate-Determining Step of the CO₂-Reforming of Methane over Supported Ni Catalyst// J. Catal. 1998. Vol. 180. № 1. P. 106.
- 30. *Tsipouriari V.A., Verykios X.E.* Carbon and Oxygen Reaction Pathways of CO₂ Reforming of Methane over Ni/La₂O₃ and Ni/Al₂O₃ Catalysts Studied by Isotopic Tracing Techniques // J. Catal. 1999. Vol. 187. № 1. P. 85.
- 31. Xiulan Cai, Xinfa Dong, Weiming Lin. Effect of CeO₂

- on the catalytic performance of Ni/Al $_2$ O $_3$ for autothermal reforming of methane // J. Natur. Gas Chem. 2008. Vol. 17. No 1. P. 98.
- 32. Соловьев С.А., Губарени Е В., Курилец Я.П. Роль добавок оксидов редкоземельных элементов в составе Ni/Al₂O₃-катализаторов окислительной конверсии метана // Теорет. эксперим. химия. 2008. Т. 44. № 6. С. 359.
- Hou Z. Yokota O, Tanaka T.A. Novel KCaNi/α-Al₂O₃
 Catalyst for CH₄ Reforming with CO₂ // Catal.Lett. 2003.
 Vol. 87. № 1-2. P. 37.
- 34. York A. P. E., Xiao T., Green L.H. Brief Overview of the

- Partial Oxidation of Methane to Synthesis Gas // Topics Catal. 2003. Vol. 22. № 3/4. P. 345.
- 35. *Liu S., Xiong G., Sheng S.* Partial oxidation of methane and ethane to synthesis gas over a LiLaNiO/γ-Al₂O₃ catalyst // Appl. Catal.: A. 2000. Vol. 198. № 1. P. 261.
- 36. Shen S., Li C., Yu C. Mechanistic study of partial oxidation of methane to syngas over a Ni/Al₂O₃ catalyst // Stud.Surf. Sci.Catal. 1998 . Vol. 119. P. 765.
- 37. *Tsipouriari V.A., Zhang Z., Verykios X.E.* Catalytic Partial Oxidation of Methane to Synthesis Gas over Ni-Based Catalysts: I. Catalyst Performance Characteristics // J. Catal. 1998. Vol. 179. № 1. P. 283.

УДК 544.723.21 : 541.183 : : 661.183.45 : 661.183.6

ГРАНУЛИРОВАННЫЕ ЦЕОЛИТЫ БЕЗ СВЯЗУЮЩИХ ВЕЩЕСТВ — СИНТЕЗ И СВОЙСТВА

© 2011 г. М.Л. Павлов, О.С. Травкина, Б.И. Кутепов Учреждение Российской академии наук Институт нефтехимии и катализа РАН, Уфа

Введение

Гранулированные синтетические цеолиты типа LTA (A) и FAU (X) в разных катионообменных формах широко используют в крупнотоннажных процессах для осушки и очистки от сернистых соединений и диоксида углегода газовых и жидких сред разного состава, например, природного газа и низкомолекулярных олефинов [1—4]. Указанные цеолиты используют и для адсорбционного разделения смесей углеводородов [4—6].

Синтетические цеолиты производят в промышленном масштабе в виде 1—5-мкм кристаллов, для применения в адсорбции и катализе их формуют в более крупные гранулы.

Павлов М.Л. – докт. хим. наук, вед. науч. сотрудник. Тел.: (347) 284-22-27. E-mail: kutepoff@inbox.ru.

Кутепов Б.И. – докт. хим. наук, профессор, вед. науч. сотрудник. Телефон и e-mail те же.

Травкина О.С. – мл. науч. сотрудник. Телефон и е-таіl те же.

Синтез гранулированных цеолитов A и X ведут в двух направлениях.

Первое — приготовление гранул, содержащих 80-82 мас.% порошкообразного цеолита и 20-18 мас.% связующих [1, 3, 4, 7]. Связующий материал, используемый на стадии формования цеолитсодержащего адсорбента, обеспечивает заданную форму и механическую прочность, создает вторичную пористую структуру, необходимую для диффузии молекул адсорбируемых веществ к индивидуальным кристаллам цеолитов и обратно в процессах адсорбции-десорбции. В качестве связующих при формовании цеолитов применяют исключительно природные глины. Синтез проводят в две стадии: 1 — приготовление высокодисперсного цеолитного порошка, 2 — его грануляция с применением связующего материала. Варианты такого способа синтеза гранулированных цеолитов достаточно хорошо разработаны и освоены в промышленности. Однако